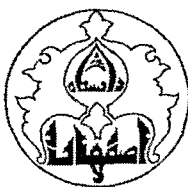




١٩٩٢.١ - ٢٠٢٠.٦



دانشگاه اصفهان

دانشکده علوم

گروه فیزیک

پایان نامه‌ی کارشناسی ارشد رشته‌ی فیزیک گرایش اتمی مولکولی

اندازه‌گیری دما به روش غیر تماسی

استاد راهنما:

دکتر محمود سلطان الکتابی

۱۳۸۸/۱۰/۲۷

استاد مشاور:

مهندس محمد سلطانی

گروه همایعات مولکولی
دانشکده فنی

پژوهشگر:

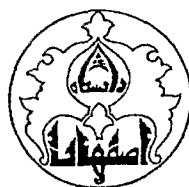
مریم اکبری نساجی

شهریور ماه ۱۳۸۸

۱۲۹۶۰۱

کلیه حقوق مادی مترتب بر نتایج مطالعات، ابتكارات
و نوآوری های ناشی از تحقیق موضوع این پایان نامه
متعلق به دانشگاه اصفهان است.

پژوهشگاه اسلامی
و علوم انسانی
تحصیلات تکمیلی دانشگاه اصفهان



دانشگاه اصفهان

دانشکده علوم

گروه فیزیک

پایان نامه‌ی کارشناسی ارشد رشته‌ی فیزیک گرایش اتمی-مولکولی

خانم مریم اکبری نساجی

تحت عنوان

اندازه‌گیری دما به روش غیرتماسی

۱۳۸۸/۱۰/۲۷

در تاریخ ۱۳۸۸/۶/۱۶ توسط هیأت داوران زیر بررسی و با درجه ...اعیان... به تصویب نهایی رسید.

امضا

با مرتبه‌ی علمی استاد

۱- استاد راهنمای پایان نامه

دکتر محمود سلطان‌الكتابی

امضا

با مرتبه‌ی علمی مربی

۲- استاد مشاور پایان نامه

مهندس محمد سلطانی

امضا

با مرتبه‌ی علمی استادیار

۳- استاد داور داخل گروه

دکتر مرتضی حاج محمدزاده

امضا

با مرتبه‌ی علمی استادیار

۴- استاد داور خارج از گروه

دکتر علی محمودی

امینه مدیر گروه

تا ز میظانه و می نام و نشان خواهد بود

سر ما خاکه ره پیغمبر مغان خواهد بود

حلقه‌ی پیغمبر مغان از ازله در گوش است

بر همانیه که بودیم و همان خواهد بود

در اینجا لازم می‌دانم که از استاد راهنمای عزیز و بزرگوارم جناب پروفسور محمود سلطان‌الکتابی که با علم و صیر و همکاری صمیمانه خود در به انجام رساندن این پایان نامه مرا همراهی کردند تشکر کنم. همچنین از دکتر علی محمودی که اینجانب را از نظرات و راهنمایی‌هایی ارزنده خود بهره مند ساختند کمال تشکر را می‌نمایم. از جناب مهندس محمد سلطانی که امکان برپایی آزمایشات را فراهم نموده و اطلاعات ارزنده‌ای را در اختیار من قرار دادند مشکرمو در نهایت از کلیه عوامل صنعت اپتیک اصفهان کمال تشکر را دارم.

به پدر و مادر عزیزم

چکیده

هدف اصلی ما در این پایان‌نامه اندازه‌گیری دمای جسم به روش غیرتماسی در ناحیه فروسرخ بود که بر اساس مطالعات به این نتیجه رسیدیم که بهترین بازه برای اندازه‌گیری ناحیه ($8\text{--}12 \mu\text{m}$) است به این دلیل که عبوردهی در این ناحیه بیشینه است و جذب قابل اغماض می‌باشد. ابزاری که در این تحقیق برای اندازه‌گیری دمای جسم بکار گرفتیم تابش‌سنجدی طیفی تبدیل فوریه‌ای فروسرخ و دوربین‌های حرارتی بوده‌اند. به طور مثال به کمک تابش‌سنجدی طیفی تبدیل فوریه‌ای فروسرخ توانستیم طیف دمای ظاهری جسم را به دست آوریم و همچنین توانستیم طیف تابشی جسم را از فواصل دور اندازه‌گیری کنیم. ما توانستیم از این طیف برای نشان دادن آلودگی‌های جوی استفاده کنیم. ابزار دیگری که برای اندازه‌گیری دمای جسم بکاربردیم دوربین‌های حرارتی تصویربردار فروسرخ بودند که به کمک تصاویر گرفته شده از این دوربین‌ها توانستیم دمای ظاهری جسم را به دست آوریم. تابشی که به کمک دوربین حرارتی اندازه‌گیری کردیم وابسته به طول موج نیست پس از اندازه‌گیری دمای ظاهری جسم دمای تصحیح شده جسم را به دست آوردیم که برای این کار از مدل‌های ریاضی استفاده کردیم که به کمک این مدل‌های ریاضی توانستیم دمای واقعی جسم را به دست آورده و همچنین عوامل ایجاد خطا در اندازه‌گیری دما را بررسی و اندازه‌گیری کردیم.

کلیدواژه‌های: غیرتماسی، عبوردهی، تابش‌سنجدی طیفی تبدیل فوریه‌ای فروسرخ، دمای ظاهری، دوربین حرارتی.

فهرست مطالب

صفحه

عنوان

فصل اول: تابش سنجی

۱	۱-۱ مقدمه
۲	۲-۱ تابش سنجی و نورسنجی
۳	۳-۱ کلید واژه‌های تابش سنجی و واحدهای آن
۴	۴-۱ قوانین تابش جسم سیاه
۵	۵-۱-۱ چشممه‌های جسم سیاه
۶	۵-۱ سطح لامبرتی
۷	۶-۱ اجسام خاکستری
۸	۶-۱-۱ ضریب گسیله‌دهی
۹	۶-۱-۱-۱ وابستگی طیفی ضریب گسیله‌دهی
۱۰	۶-۱-۱-۱-۱ قوانین کیرشهف
۱۱	۷-۱ عبوردهی جوی
۱۲	۷-۱-۱ جذب
۱۳	۷-۱-۱-۱ پراکندگی
۱۴	۷-۱-۱-۱-۱ تلاطم مسیر (جو)
۱۵	۷-۱-۱-۱-۱-۱ تابندگی مسیر

فصل دوم: روش‌های اندازه‌گیری دما

۲۰	۱-۲ مقدمه
۲۱	۲-۲ روش‌های اندازه‌گیری دما
۲۲	۲-۲-۱ اساس طبقه‌بندی حرارت‌سنجهای غیرتماسی
۲۳	۲-۲-۲ روش‌های اندازه‌گیری دما به صورت ناکنا
۲۴	۲-۲-۳ روش اندازه‌گیری دما با سامانه تک‌باند-ناکنا
۲۵	۲-۲-۴ روش اندازه‌گیری دما با سامانه تک‌باند-ناکنا

صفحه

عنوان

۲۶	۲-۴-۲ روش اندازهگیری دما با سامانه دوباند ناکنا
۲۷	۳-۴-۲ روش اندازهگیری دما با سامانه چندباند ناکنا
۲۷	۵-۲ دمای ظاهري
۲۸	۱-۵-۲ ميزان شار رسيده از هدف به آشكارساز
۳۱	۲-۵-۲ بررسی رابطه بين ولتاژ (سيگنال) خروجي و دمای هدف
۳۳	۳-۵-۲ بيان دمای تفضلي و محاسبه آن توسط شار رسيده به حسگر
۳۴	۶-۲ محاسبه دمای تصحیح شده جسم با بيان يك الگوي ریاضی در سامانه‌های حرارتی
۳۵	۱-۶-۲ کالیبراسیون
۳۶	۲-۶-۲ سیگنال حقيقی
۳۷	۳-۶-۲ سیگنال تصحیح شده
۳۹	۴-۶-۲ دمای تصحیح شده جسم

فصل سوم بررسی سامانه‌های تصویربردار حرارتی

۴۲	۱-۳ مقدمه
۴۳	۲-۳ معرفی سامانه‌های فروسرخ و الکترواپتیکی
۴۵	۳-۳ مشخصات دوربین‌های حرارتی
۴۵	۱-۳-۳ معیارهای تشخیص کیفیت وابسته به فرد
۴۵	۱-۱-۳-۳ کمترین اختلاف دمای قابل تفکیک
۴۶	۲-۳-۳ مشخصه پاسخ دوربین
۴۶	۱-۲-۳-۳ تابع انتقال سیگنال
۴۷	۱-۱-۲-۳-۳ ۱-گستره دینامیکی
۴۸	۲-۳-۳ تابع پاسخ شکاف
۴۹	۳-۳-۳ مشخصه نویه
۵۱	۴-۳-۳ مشخصه توان تفکیک تصویر

صفحه	عنوان
۵۲	۴-۳ اجزای یک سامانه تصویربردار حرارتی
۵۲	۱-۴-۳ هدف
۵۳	۱-۱-۴-۳ چشمehاای خارجی
۵۱	۴-۳-۳ مشخصه توان تفکیک تصویر
۵۲	۴-۳ اجزای یک سامانه تصویربردار حرارتی
۵۲	۱-۴-۳ هدف
۵۳	۱-۱-۴-۳ چشمehاای خارجی
۵۴	۲-۴-۳ بخشهاای اپتیکی سامانه حرارتی
۵۶	۳-۴-۳ آشکارساز
۵۷	۱-۳-۴-۳ آشکارسازهاای حرارتی
۵۷	۲-۳-۴-۳ آشکارسازهاای فوتونی
۵۸	۴-۴-۳ سامانه الکترونیک
۵۸	۵-۴-۳ صفحه نمایش
۵۹	۶-۴-۳ بررسی خطی پذیری سامانههاای حرارتی

فصل چهارم کارهای تجربی

۶۱	۱-۴ مقدمه
۶۲	۲-۴ معرفی تابش سنج طیفی تبدیل فوریهای فروسرخ
۶۵	۳-۴ تئوری زینه بندی
۶۷	۴-۴ اندازه گیری با تابش سنج طیفی
۶۹	۴-۵ اندازه گیری ۱
۶۹	۱-۵-۴ (دمای ظاهری یک دود کش)
۷۴	۲-۵-۴ دمای ظاهری ابر
۷۷	۳-۵-۴ حضور خطوط جذب و نشرعناصر موجود در جو در طیف دمای ظاهری
۸۱	۴-۵-۴ چگونگی محاسبه دمای واقعی جسم به کمک طیف تابشی اندازه گیری شده هدف
۸۲	۴-۵-۴ اندازه گیری ویژگی های دوربین حرارتی مورد آزمایش

عنوان

صفحه

۸۵.....	۱-۵-۵ آزمون کمترین اختلاف دمای قابل تفکیک.....
۸۶	۲-۵-۵ آزمون تابع انتقال سیگنال.....
۸۸.....	۳-۵-۵ تابع پاسخ شکاف.....
۹۰.....	۴-۵-۵ آزمون نوفه زمانی فرکانس بالا
۹۱.....	۴-۵-۵ نوفه فضایی فرکانس پایین
۹۲.....	۴-۵-۶ اندازه‌گیری دمای ظاهری جسم با سامانه تصویربردار حرارتی.....
۹۳.....	۱-۶-۵-۴ مراحل اندازه‌گیری دمای ظاهری هدف با دوربین حرارتی فروسرخ بلند.....
۹۸.....	۷-۵-۴ اندازه‌گیری دمای تصحیح شده جسم
۱۰۳.....	۶-۴ جمع بندی

فصل پنجم بررسی نامعینی در اندازه‌گیری دمای جسم

۱۰۴.....	۱-۵ مقدمه.....
۱۰۵	۲-۵ مجموعه نامعینی‌های ذاتی در اندازه‌گیری دمای جسم
۱۰۶.....	۱-۲-۵ کمترین خطای
۱۰۸.....	۲-۲-۵ تفاضل دمایی معادل نوفه
۱۰۹.....	۳-۲-۵ توان تفکیک دمایی رقمی
۱۱۰.....	۴-۲-۵ پایداری دمایی
۱۱۳.....	۵-۲-۵ تکرار پذیری دمایی دوربین
۱۱۴.....	۶-۲-۵ یکنواختی اندازه‌گیری
۱۱۵.....	۷-۲-۵ توان تفکیک فضایی اندازه‌گیری شده
۱۱۵.....	۳-۵ تعیین نامعینی ذاتی دوربین در اندازه‌گیری دما
۱۱۶	۴-۵ مجموعه نامعینی‌های غیرذاتی در اندازه‌گیری دمای جسم
۱۲۲.....	۵-۵ جمع بندی

صفحه	عنوان
۱۲۳.....	جمعبندی و پیشنهادات.....
۱۲۴.....	پیوست آلف.....
۱۳۴.....	پیوست ب.....
۱۴۳.....	منابع و مأخذ

فهرست شکل‌ها

صفحه

عنوان

شکل ۱-۱: توان تابش شده از واحد سطح یک جسم سیاه بر حسب طول موج در دماهای مختلف ۴	
شکل ۱-۲: چشمۀ جسم سیاه نقطه‌ای شامل یک حفره با یک روزنۀ در جلوی آن ۶	
شکل ۱-۳: چشمۀ جسم سیاه جزئی ۶	
شکل ۱-۴: سطح لامبرتی هدف ۸	
شکل ۱-۵: نمودار مربوط به ضریب گسیله‌ی اجسام مختلف ۱۰	
شکل ۱-۶: وابستگی چگالی توان تابشی به ضریب گسیله‌ی بر حسب طول موج ۱۱	
شکل ۱-۷: طیف گسیله‌ی برای سه تابش‌کننده مختلف جسم سیاه، جسم خاکستری و یک تابشگر انتخابی ۱۱	
شکل ۱-۸: تابش فروند آمده بر هدف به سه بخش تقسیم می‌شود ۱۲	
شکل ۱-۹: جذب انرژی فوتون فروندی توسط مولکول‌های جوی ۱۴	
شکل ۱-۱۰: انواع پراکندگی الف: پراکندگی ریلی، ب: پراکندگی می، پ: پراکندگی هندسی ۱۵	
شکل ۱-۱۱: تغییرات شار پرتو فروندی پس از عبور از مسافت d_x ۱۷	
شکل ۱-۱۲: انواع پراکندگی الف: پراکندگی ریلی، ب: پراکندگی می، پ: پراکندگی هندسی ۱۸	
شکل ۱-۱۳: دو نمونه از سامانه‌های تصویربردار و غیرتصویربردار حرارتی ۱۹	
شکل ۲-۱: چند نمونه از وسایل اندازه‌گیری غیرتماسی دما ۲۴	
شکل ۲-۲: وابستگی چگالی طیف تابشی به طول موج به ازای دماهای مختلف ۲۶	
شکل ۲-۳: یک تابش‌سنج طیفی فقط می‌تواند تابش را اندازه‌گیری کند. سامانه نمی‌تواند تابش گسیل شده را از تابش منعکس شده مجزا کند ۲۷	
شکل ۲-۴: میدان دیده شده توسط حسگر از سطح جسم کوچکتر است ۲۸	
شکل ۲-۵: میدان دیده شده توسط حسگر از سطح جسم بزرگتر است ۳۰	
شکل ۲-۶: هندسه دمای تفاضلی (اختلاف دما) ۳۳	
شکل ۲-۷: رابطه بین دمای خروجی T_{cor} و دمای صحیح جسم T_{ob} و سیگنال تصویح شده S_{cor} و سیگنال به دست آمده S_{bb} در فرایند کالیبراسیون با جسم سیاهی در دمای T_{ob} ۴۰	
شکل ۲-۸: الگوی استاندارد یک حسگر تصویربردار ۴۴	
شکل ۲-۹: تصویر الگوی چهار نواری متناسب استاندارد. الف: اختلاف دمای هدف-زمینه کم است: اختلاف دمای هدف-زمینه زیاد است ۴۶	

عنوان

صفحه

شکل ۳-۳: تابع پاسخ یک دوربین نمونه نسبت به تغییر شدت در هدفی با اندازه ثابت را می‌بینیم شبیه بخش خطی نمودار تابع انتقال سیگنال رانشان می‌دهد.....	۴۷
شکل ۳-۴: نمودار مربوط به تابع پاسخ شکاف یک دوربین نمونه می‌بینیم که در حالت ایده آل یک رابطه خطی بین پاسخ دوربین به شکاف‌های مختلف و زاویه فضایی در برگیرنده آن شکاف برقرار است.....	۴۸
شکل ۳-۵: نمودار تابع تبدیل مدولاسیون.....	۵۲
شکل ۳-۶: نمایش فرایند اندازه‌گیری با یک دوربین حرارتی تکباند به روش ناکتا.....	۵۲
شکل ۳-۷: تابش دریافتی خورشید در سطح زمین همراه با خطوط جذب آن.....	۵۳
شکل ۳-۸: جزئیات یک موازی ساز نوری.....	۵۶
شکل ۳-۹: نمایی از دو آشکارساز با $288\text{~}\mu\text{m}$ آرایه و ابعاد $35\text{~}\mu\text{m}$	۵۶
شکل ۳-۱۰: چگونگی تشکیل زاویه دید مشاهده‌گر و زاویه دید حسگر.....	۵۹
شکل ۴-۱: اجزای مختلف یک تابش‌ستج طیفی.....	۶۳
شکل ۴-۲: رابطه بین تابش اندازه‌گیری شده و تابش دریافتی از صحنه. شبیه خط بیان گر بهره دستگاه و فاصله از مبدأ آن انحراف دستگاه را نشان می‌دهد.....	۶۵
شکل ۴-۳: نمایی از برپایی آزمایش اندازه‌گیری دمای ظاهری.....	۶۹
شکل ۴-۴: تداخل نگاشت مربوط به هدف (بدنه دودکش) در فاصله ۷ متری از دستگاه تابش‌ستج طیفی.....	۷۰
شکل ۴-۵: طیف تابشی هدف(بدنه دودکش).....	۷۱
شکل ۴-۶: طیف دمای ظاهری هدف با استفاده از نرم افزار MATLAB.....	۷۲
شکل ۴-۷: شکل ۴-۷: طیف تابشی کالیبره شده هدف که با منحنی جسم سیاه برآش شده است.....	۷۴
شکل ۴-۸: طرح وارهای از برپایی آزمایش در اندازه‌گیری تابندگی طیفی آسمان.....	۷۵
شکل ۴-۹: تابندگی جسم سیاه با دمای ۳۱۲ کلوین(خط چین)، آسمان ابری(خط پر) و آسمان صاف (نقطه خط).....	۷۶
شکل ۴-۱۰: تفاضل تابندگی آسمان ابری و صاف(خط پر) و جسم سیاه برآش شده به آن(خط چین).....	۷۷
شکل ۴-۱۱: طرح وارهای از یک الگوی دو لایه‌ای برای دور حسی.....	۷۹
شکل ۴-۱۲: حضور خط جذب CO_2 در طیف دمای ظاهری در عدد موج $668/\text{cm}^{-1}$ به ازای $\Delta T = -15$	۸۰
شکل ۴-۱۳: حضور خط نشری CO_2 در طیف دمای ظاهری در عدد موج $668/\text{cm}^{-1}$ به ازای $\Delta T = +10$	۸۰
شکل ۴-۱۴: نمایی از دوربین حرارتی غیره خنک شونده مدل S ۷۳۰، ناحیه کارکرد فروسرخ بلند μm ۸-۱۲.....	۸۴
شکل ۴-۱۵: نحوه برپایی آزمایش برای اندازه‌گیری کمترین اختلاف دمای قابل تفکیک MRTD.....	۸۵
شکل ۴-۱۶: منحنی کمترین اختلاف دمای قابل تفکیک.....	۸۶

عنوان

صفحه

..... ۱۷-۴: نمودار تابع تبدیل سیگنال در دوربین مورد آزمایش	۸۷
..... شکل ۱۸-۴: بخش خطی نمودار تابع پاسخ که با یک رابطه خطی برازش داده شده است. شب نمودار برابر با	۸۸
..... ۲۲/۸۴ است	
..... شکل ۱۹-۴: نمودار تابع پاسخ شکاف مربوط به دوربین مورد آزمایش	۹۰
..... شکل ۲۰-۴: نحوه برپایی آزمایش برای اندازه گیری غیر یکنواختی	۹۲
..... شکل ۲۱-۴: منحنی کالیبراسیون شدت (سطح خاکستری تصویر) بر حسب دما که با نمودار خطی برازش	
..... شده است	۹۵
..... شکل ۲۲-۴: نمایی از برپایی آزمایش، هدف را در مقابل دوربین یک بار در سایه و بار دیگر در آفتاب قرار	
..... داده ایم	۹۶
..... شکل ۲۳-۴: الف- تصویری از هدف مورد آزمایش با دوربین حرارتی در سایه چون نسبت به اطراف دمای کمتری	
..... دارد تیره تر به نظر می رسد. ب- تصویری از هدف مورد آزمایش با دوربین حرارتی در آفتاب چون نسبت به	
..... اطراف دمای بیشتری دارد روشن تر به نظر می رسد	۹۷
..... شکل ۲۴-۴: نمایی از تابع پاسخ دوربین حرارتی به ازای آشکارساز میکروبولومتر غیر خنک شونده آمورف-	
..... سیلیکون	۹۹
..... شکل ۲۵-۴: میزان عبوردهی عدسی از جنس ژرمانیوم که با DLC پوشش داده شده باشد	۱۰
..... شکل ۲۶-۴: الف- میزان بازتاب یک عدسی با پوشش ضد بازتاب در ناحیه $8-14 \mu m$ ، ب- میزان عبوردهی	
..... یک عدسی با پوشش ضد بازتاب در ناحیه $8-14 \mu m$	۱۰۱
..... شکل ۲۷-۱: نمودار کمترین خطای دوربین مورد آزمایش	۱۰۷
..... ۲- تابع چگالی احتمال مربوط به دمای تصحیح شده در فرایند اندازه گیری دمای جسم	۱۰۹
..... شکل ۲۷-۳: خطای در اندازه گیری دمای جسم سیاه با دمای C° به ازای تغییر دمای مختلف محیط	۱۱۲
..... شکل ۲۷-۴: نمودار ثابت گسیله‌ی جسم C_{ϵ} به ازای چندین دمای جسم و با فرض دمای زمینه ۲۹۸ کلوین	۱۲۰
..... شکل ۲۷-۵: نمودار ثابت عبوردهی جو C_r به ازای چندین دمای جسم و با فرض ضریب گسیله‌ی جسم	
..... دمای زمینه ۲۹۸ کلوین	۱۲۱
..... شکل ۲۷-۶: نمودار ثابت دمای زمینه C_r به ازای چندین دمای جسم با فرض ضریب گسیله‌ی جسم $\epsilon = 0.88$	
..... و دمای زمینه ۲۹۸ کلوین	۱۲۱

فهرست جداول‌ها

صفحه	عنوان
۳	جدول ۱-۱: واحداً و عبارات تابش سنجی
۱۶	جدول ۲-۱: نوع پراکندگی بر حسب اندازه ذرات
۶۴	جدول ۱-۴: مشخصات تابش سنج طیفی MR300
۸۳	جدول ۲-۴: مشخصات دوربین حرارتی مورد استفاده در این تحقیق
۸۵	جدول ۳-۴: نتایج مربوط به آزمون کمترین اختلاف دمای قابل تفکیک (MRTD)
۸۹	جدول ۴-۴: نتایج مربوط به آزمایش تابع پاسخ شکاف دوربین مورد آزمایش
۹۱	جدول ۴-۵: مقادیر مربوط به نویه فضایی فرکانس پایین (نایکنواختی تصویر)
۹۷	جدول ۴-۶: مقادیر مربوط به دمای ظاهری هدف با سامانه های تصویربردار حرارتی
۱۰۳	جدول ۴-۷: مقادیر مربوط به رابطه (۴۰-۵) را می بینید
۱۰۳	جدول ۴-۸: مقادیر سیگنال تصحیح شده و حقیقی جسم و دمای واقعی محاسبه شده را می بینید
۱۱۲	جدول ۵-۱: تغییرات دمای محیط و دمای تصحیح شده به ازای جسم سیاه با دمای ثابت $40^{\circ}C$
۱۱۴	جدول ۵-۲: تغییرات دمای محیط و دمای تصحیح شده به ازای جسم سیاه با دمای ثابت $40^{\circ}C$
۱۱۶	جدول ۵-۳: نتایج مربوط به نامعینی‌های جزئی ذاتی در دوربین حرارتی به ازای ۲ دمای خاص را در زیر می بینیم
۱۲۲	جدول ۵-۴: محاسبات مربوط به نامعینی‌های جزئی غیر ذاتی برای یک نمونه خاص با دمای 313 کلوین...

پیشگفتار

۱- مقدمه

تابش فروسرخ تا حدود ۲۰۰ سال پیش ناشناخته بود. هر شل یک تکفامساز ساخت و از یک ترمومتر به عنوان آشکارساز استفاده کرد. بنابراین توانست توزیع انرژی خورشید را اندازه گیری کند. به دنبال آن کارهای کیرشهف، استفان، بولتزمن، وین، ریلی و ماکس پلانک، با قانون پلانک به اوج خود رسید. در طول جنگجهانی دوم شیوه‌های پیشرفتی تابش فروسرخ بوجود آمد. کاربردهای نظامی و بویژه صلح‌آمیز این تابش در قرن بیستم بسیار گسترش یافت. دور حسی فروسرخ، پیشرفت‌های زیادی را در ارتباط با آشکارسازهای فروسرخ موجب شده است. بازه فروسرخ ناحیه‌ای از طول موج‌های بلندتر از مرئی و تا قبل از حدود چند میلی‌متر است و در محدوده‌های مختلف برای آشکارسازی تابش آن طول‌موج از آشکارسازهای حساس به آن ناحیه استفاده می‌کنند^[۱]. چگونگی تقسیم بندی نواحی فروسرخ در مراجع مختلف متفاوت است که ما در این پایان‌نامه نواحی را به شرح زیر تقسیم بندی کرده ایم^[۱]:

ناحیه مرئی	ناحیه فروسرخ میانی	ناحیه فروسرخ کوتاه	ناحیه فروسرخ بلند
۰/۴-۰/۷ μm	۰/۷-۲ μm	۳-۵ μm	۸-۱۴ μm

اصول تحلیل و طراحی همه سامانه‌های تابش فروسرخ مشابه است. اتمهای اجسام در دمای بالاتر از صفر مطلق در حال ارتعاش هستند که هر چه دمای جسم بالاتر رود جسم بیشتر ارتعاش می‌کند و انرژی بیشتری تابش می‌کند. پس همه اجسام با نسبتی که وابسته به دمای آن‌ها و ضریب گسیله‌های سطح است تابش می‌کنند^[۲]. تابش نظر پیوسته ای از سطح هدف است که به دما و ویژگی‌های سطح بستگی دارد. چشم‌های جسم‌سیاه بی‌نهایت داغ یا چشم‌های مصنوعی داغ در ناحیه مرئی تابش می‌کنند. برای اندازه‌گیری تابش جسم از سامانه‌های تصویربردار استفاده می‌شود. سامانه‌های تصویربردار از الگوی حرارتی تابشی صحنه یک تصویر مرئی بوجود می‌آورند. به چنین سامانه‌های ناکنا می‌گویند از این سامانه‌ها می‌توان در آشکارسازی نقاط سرد و گرم و یا سطوحی با ضرایب گسیله‌های متفاوت استفاده کرد. تابش حرارتی اجسام در ناحیه فروسرخ بیشتر از تابش مرئی می‌تواند در دود و گرد و غبار نفوذ کند. بنابراین از سامانه‌های تصویربردار ناکنای فروسرخ می‌توان در شرایط بد آب و هوایی استفاده کرد همچنین از این سامانه‌ها را در تاریکی‌های مطلق و یا جایی که نور ضعیفی وجود دارد برای تهیه تصاویر مرئی می‌شود. در این پایان‌نامه آزمایش‌ها در ناحیه فروسرخ میانی و بلند صورت می‌گیرد که از سامانه‌های تصویربردار حرارتی در دو ناحیه فروسرخ میانی و بلند در شرایط مختلفی استفاده می‌شود. به طور مثال سامانه‌های حرارتی که در ناحیه فروسرخ میانی کار می‌کنند مناسب‌تر برای شرایط داغ هستند و متأثر از نور بازتاب یافته خورشید می‌باشند همچنین در شرایط مناسب آب و هوایی بکار می‌روند. اما سامانه‌های تصویربردار حرارتی در ناحیه فروسرخ بلند بیشتر به اشیاء هم دمای محیط حساس هستند و در شرایط بد آب و هوایی و گرد و غبار شدید استفاده می‌شوند و نسبت به نور انعکاس یافته خورشید تأثیر پذیری ناچیزی دارند. در بررسی‌ها در این نواحی چگالی توان تابشی هدف اهمیت ویژه‌ای دارد^[۲]. تصاویر تشکیل شده در این سامانه‌ها می‌تواند سطوح

خاکستری باشد و یا در آن‌ها از مدهای رنگی استفاده شود. در زیر به بخشی از کاربردهای این سامانه‌های تصویربردار اشاره می‌کنیم.

کاربرد سامانه‌های تصویربردار حرارتی به ۴ گروه اصلی طبقه‌بندی می‌شوند [۱]:

۱. نظامی

۲. صنعتی

۳. پزشکی

۴. تحقیقاتی

۱. از جمله کاربردهای نظامی سامانه‌های تصویربردار به موارد زیر می‌توان اشاره کرد:

- در جستجوگرها و اسلحه‌های هوشمند و همچنین در سامانه‌های مراقبت‌های هوایی و زمینی، ناوپری ماهواره‌ای، سامانه‌های مراقبت هوشمند به دو صورت کنا و ناکنا مورد استفاده قرار می‌گیرد [۱].

۲. از جمله کاربردهای صنعتی سامانه‌های تصویربردار می‌توان موارد زیر را نام برد:

- در تشخیص آلودگی‌های محیط و تغییرات آب و هوایی

- در کشاورزی و فرایندهای شیمیایی

- در صنعت خودروسازی و دیگر صنایع

- در تشخیص نشت رطوبت و فرسایش در سقف‌ها و دیوارها و همچنین در تشخیص نشت حرارتی در منازل و

کارخانه‌ها برای جلوگیری از هدر رفتن منابع انرژی حرارتی از تصاویر حرارتی استفاده می‌شود

- کاربرد در تشخیص خرابی اتصالات و نشر حرارتی در صنعت و نیز بخش‌های مختلف هواپیما، ریل‌های قطار و

باند فرودگاه، کابل‌های پر فشار برق، سامانه‌های خنک کننده و تهویه هوا و غیره را می‌توان نام برد

- از این فناوری می‌توان در شناسایی، بررسی و مطالعه آتش استفاده کرد که اطلاعاتی درباره رشد، گستره، ابعاد

و مکان آتش می‌دهد. در صورتی که سامانه تصویربردار از حساسیت بالایی برخوردار باشد می‌تواند مکان یک انسان را در

میان دود و آتش تشخیص دهد [۳].

۳. از کاربردهای پزشکی تصاویر فروسرخ می‌توان موارد زیر را نام برد:

- در تشخیص سرطان و تومورها با استفاده از تصاویر حرارتی بر اساس دمای بدن [۳].

۴. بعضی از کاربردهای تحقیقاتی این فناوری عبارتند از:

- بررسی تغییرات حرارتی زمین و تشخیص خطرات زمینی مثل آتشفسان [۱].

- از تصاویر حرارتی فروسرخ در اندازه گیری دمای اهداف به صورت غیرتماسی استفاده می‌شود که در این پایان-

نامه بدان می‌پردازیم.

در زیر به معرفی مزایا و کاربردهای اندازه گیری غیرتماسی دما پرداخته‌ایم.

دما را می‌توان به صورت غیرتماسی به صورت کیفی و یا کمی بررسی و اندازه گیری کرد. از بیشترین وسایلی که

در این راستا استفاده می‌شود پیرومترها و سامانه‌های تصویربردار حرارتی هستند [۴]. در این پایان نامه برای اندازه گیری

دما ظاهری غیرتماسی جسم به دو روش عمل کرده‌ایم. در روش اول از تابش سنج طیفی تبدیل فوریه‌ای فروسرخ

استفاده کردیم و توانستیم طیف دمای ظاهری هدف را به دست بیاوریم. در روش دوم از یک دوربین حرارتی تصویربردار استفاده کردیم و به کمک تصویرحرارتی هدف دمای ظاهری آن را به دست آوردیم علاوه بر آن با بیان یک الگوی ریاضی توانستیم دمای واقعی جسم را نیز تخمین بزنیم. در حرارت سنج‌های غیرتماسی ابتدا تابش هدف در یک یا چند باند اندازه‌گیری می‌شود سپس بر اساس تابش اندازه‌گیری شده دمای هدف را به دست می‌آوریم.

از جمله مزایای اندازه‌گیری دما با حرارت سنج‌های غیرتماسی می‌توان به موارد زیر اشاره کرد که اهمیت و لزوم استفاده از حرارت سنج‌های غیرتماسی را بیشتر نشان می‌دهد.

۱. اندازه‌گیری دما می‌تواند خیلی سریع در حدود چند میلی ثانیه انجام بگیرد

۲. از این روش می‌توان در زمان واقعی (Real time) دمای جسم را اندازه‌گیری کرد

۳. از این روش می‌توان دمای اهداف متحرک را اندازه‌گیری کرد

۴. این روش امکان اندازه‌گیری دما در محیط‌های خطرناک و در جایی که امکان دسترسی فیزیکی وجود نداشته باشد را فراهم می‌کند

۵. در این روش انرژی به هدر نمی‌رود چون غیر تماسی است پس در شرایطی که حرارت خیلی ضعیف است هم

می‌توان اندازه‌گیری دقیقی انجام داد [۵]

۶. از روش اندازه‌گیری غیر تماسی دما و به کمک طیف دمای ظاهری جسم می‌توانیم آلینده‌های موجود در جو

را شناسایی کنیم

۲- نحوه انجام تحقیق در این پایان‌نامه

در این پایان‌نامه هدف اصلی اندازه‌گیری دمای جسم به روش غیرتماسی با استفاده از تابش آن در ناحیه فروسرخ بود. پس لازم دیدیم در ابتدا به بررسی کامل ناحیه فروسرخ بپردازیم و مزایای استفاده از این ناحیه نسبت به ناحیه مرئی را بررسی کنیم و همچنین چگونگی رفتار نور و ذره را در کل ناحیه فروسرخ مورد مطالعه قرار دهیم. پس از مطالعات به این نتیجه رسیدیم که با توجه به محدوده دمایی مورد نظر و میزان تابش جسم ناحیه مطلوب برای اندازه‌گیری‌ها انتخاب ناحیه فروسرخ بلند ($8\text{--}14 \mu\text{m}$) می‌باشد که در این ناحیه با حداقل عبوردهی جو رویه رو هستیم که این موضوع برای ما که در صدد دریافت تابش از صحنه مورد نظر هستیم بسیار مطلوب است. در ادامه به دنبال شناخت هر چه بیشتر وسایل و ابزاری بودیم که بتوانیم از آن‌ها برای اندازه‌گیری تابش هدف در ناحیه مورد نظر استفاده کنیم که از آن دسته می‌توانیم به تابش سنج‌طیفی تبدیل فوریه‌ای فروسرخ و دوربین حرارتی اشاره کنیم. علت استفاده از هر کدام از این وسایل، بستگی به کاربردهای ویژه‌ی آن‌ها داشت. به طور مثال اگر به دنبال تعیین طیف دمایی از جسم مورد نظر بودیم یعنی اینکه می‌خواستیم چگونگی رفتار دمایی یک جسم را در یک بازه طول موجی بررسی کنیم لازم بود که از تابش سنج طیفی تبدیل فوریه‌ای استفاده کنیم. علاوه بر آن برای دریافت

تابش اجسام از فاصله‌های خیلی دور مثل ابر و یا اجرام آسمانی استفاده از این ابزار را توصیه می‌کنیم که شاید پیش از این کسی از آن به عنوان ابزاری برای دماستجی استفاده نکرده بود. از جمله مزایای این روش اندازه‌گیری، دقت بالا و امکان اندازه‌گیری در فواصل طولانی است در ضمن به کمک طیف دمایی که اندازه‌گیری کردیم توانستیم حضور آلاینده‌های موجود در جو را نیز نشان دهیم. اما ابزار دیگری که در این پایان‌نامه برای دماستجی از آن استفاده کردیم دوربین‌های حرارتی تصویربردار فروسرخ بودند که به کمک تصاویری که با این دوربین‌ها گرفتیم و با ارائه روش‌هایی که در ادامه به آن خواهیم پرداخت توانستیم دمای ظاهری اجسام را اندازه‌گیری کنیم با استفاده از انواع دوربین‌ها می‌توانیم از محدوده دمایی خیلی پایین تا حد دمای‌های کوره را اندازه‌گیری کنیم. لازم به ذکر است که در این حالت تابشی که از جسم دریافت می‌کنیم به صورت بازه طول موجی نیست بلکه به صورت انتگرالی از کل تابش پلانک در بازه طول موجی مورد نظر به طور مثال (۱۴-۸۰۰nm) است که به صورت سطوح خاکستری آن‌ها را دریافت می‌کنیم. پس این بار عوامل دیگری در اندازه‌گیری دما دخیل بودند که ما را مجبور به شناسایی کامل مشخصات تصویر و ویژگی‌های دوربین حرارتی کردند. پس از اندازه‌گیری دمای ظاهری جسم با دوربین حرارتی به دنبال روشی برای تصحیح دمای ظاهری و نزدیک کردن آن به دمای واقعی جسم بودیم پس به بیان الگوهای ریاضی پرداختیم تا بتوانیم عوامل موثر بر دمای اندازه‌گیری شده را بررسی کنیم و میزان خطای در اندازه‌گیری‌ها را مورد مطالعه قرار دهیم که در طول این پایان‌نامه به شرح کامل آن‌ها خواهیم پرداخت.

۳-ساختار کلی پایان‌نامه

با توجه به موضوع مورد تحقیق و لزوم و اهمیت شناخت مفاهیم اولیه تابش‌سنجدی و آشنایی با ناحیه طول موجی فروسرخ و همچنین آشنایی با ابزار و وسایلی که در این ناحیه مورد استفاده قرار می‌گیرند مباحثت را به گونه‌ای تنظیم کردیم که تاحد امکان مطالب مورد نیاز را پوشش دهد.

در فصل اول به بیان تعاریف اولیه در مورد تابش‌سنجدی و نورسنجی و ضریب‌گسیله‌ی و عوامل موثر بر ضریب- گسیله‌ی پرداختیم.

در فصل دوم روش‌های اندازه‌گیری دما به صورت غیرتماسی را شرح می‌دهیم و وسایلی که در این مورد استفاده می‌شود را معرفی می‌کنیم دمای ظاهری هدف را معرفی می‌کنیم و به صورت تئوری مراحل تبدیل یک شار فوتونی به دما را در یک حرارت‌سنج غیرتماسی بررسی می‌کنیم. سپس دمای تصحیح شده جسم را عنوان می‌کنیم و با یک بیان ریاضی مراحل تبدیل یک دمای ظاهری به دمای تصحیح شده را دنبال خواهیم کرد.

در فصل سوم به بررسی سامانه‌های تصویربردار حرارتی پرداخته ایم. سامانه‌های فروسرخ و سامانه‌های الکتروپاتیک را معرفی می‌کنیم و شرایط استفاده از هر کدام را شرح خواهیم داد مشخصات یک دوربین حرارتی را به طور